

## Cap. 8 O problema de dois corpos com força central (conservativa)

Exemplos: estrela binária, planeta orbitando o sol, Terra-Lua, próton-elétron, átomos em molécula diatômica.

- natureza da aproximação envolvida: o tratamento nestes termos é um bom começo.

Muitas das ideias aqui apresentadas serão úteis também no problema quântico similar - atenção, por exemplo, ao conceito de massa reduzida.

### 8.1. Estabelecimento do problema

Sejam 2 objetos isolados, de massas  $m_1$  e  $m_2$ , na aproximação de partícula, com posições  $\vec{r}_1$  e  $\vec{r}_2$  em um referencial inercial. As forças de interação  $\vec{F}_{12}$  e  $\vec{F}_{21}$  são conservativas e centradas  $\rightarrow$  são deriváveis de uma (função) energia potencial  $U(\vec{r}_1, \vec{r}_2)$ .

Exemplo: corpos astronômicos

$$|\vec{F}_{12}| = \frac{G m_1 m_2}{|\vec{r}_1 - \vec{r}_2|^2} \rightarrow U(\vec{r}_1, \vec{r}_2) = - \frac{G m_1 m_2}{|\vec{r}_1 - \vec{r}_2|}$$

$$\text{átomo de H: } U(\vec{r}_1, \vec{r}_2) = - \frac{ke^2}{|\vec{r}_1 - \vec{r}_2|}$$

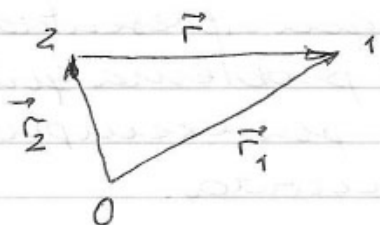
Nos exemplos,  $U(\vec{r}_1, \vec{r}_2) = U(|\vec{r}_1 - \vec{r}_2|)$  - mas é acidente: sistema isolado é invariante por translação e, para que

U o seja, só pode depender da diferença de posições (posição relativa)

Além disto: já vimos que se uma força conservativa é central,  $U$  tem que ser independente da direção de  $(\vec{r}_1 - \vec{r}_2)$

$$\Rightarrow U(\vec{r}_1, \vec{r}_2) = U(|\vec{r}_1 - \vec{r}_2|)$$

Para tomar partido disto, defina  $\vec{r} = \vec{r}_1 - \vec{r}_2$  : posição relativa



$$, r = |\vec{r}| \Rightarrow U = U(r)$$

Podemos agora formular o problema matemático que queremos resolver: quais os possíveis movimentos de 2 corpos com Lagrangeana

$$d = \frac{1}{2} m_1 \dot{\vec{r}}_1^2 + \frac{1}{2} m_2 \dot{\vec{r}}_2^2 - U(r)$$

8.2 O CM, coordenadas relativas, e a massa reduzida.

Nossa 1ª tarefa é escolher as coordenadas generalizadas a usar. A melhor escolha é  $\vec{r}$  e  $\vec{R}$ , a posição do centro de massa (CM):

$$\vec{R} = \frac{m_1 \vec{r}_1 + m_2 \vec{r}_2}{m_1 + m_2} = \frac{m_1 \vec{r}_1 + m_2 \vec{r}_2}{M}$$

(relembra onde fica o CM de 2 partículas). Já sabemos que  $\vec{p} = M\dot{\vec{R}}$  (interpretação) é conservado  $\rightarrow \dot{\vec{R}}$  é constante, e

define um referencial inercial especial, o referencial do CM.

Vamos escrever  $\mathcal{L}$  em termos das coordenadas generalizadas escolhidas.

$$\vec{R} = \frac{m_1}{M} \vec{r}_1 + \frac{m_2}{M} \vec{r}_2$$

$$\vec{r} = \vec{r}_1 - \vec{r}_2$$

$$\Rightarrow \vec{r}_1 = \vec{R} + \frac{m_2}{M} \vec{r}, \quad \vec{r}_2 = \vec{R} - \frac{m_1}{M} \vec{r}$$

$$T = \frac{1}{2} \left[ m_1 \left( \dot{\vec{R}} + \frac{m_2}{M} \dot{\vec{r}} \right)^2 + m_2 \left( \dot{\vec{R}} - \frac{m_1}{M} \dot{\vec{r}} \right)^2 \right]$$

$$= \frac{1}{2} \left[ M \dot{\vec{R}}^2 + \frac{m_1 m_2}{M} \dot{\vec{r}}^2 \right]$$

Definimos a massa reduzida  $\mu$ :

$$\mu = \frac{m_1 m_2}{M} = \frac{m_1 m_2}{m_1 + m_2} \quad \left( e \frac{1}{\mu} = \frac{1}{m_1} + \frac{1}{m_2} \right)$$

Propriedades:  $\mu < m_1, m_2$

se  $m_1 \ll m_2 \Rightarrow \mu \approx m_1$

$$T = \frac{1}{2} M \dot{\vec{R}}^2 + \frac{1}{2} \mu \dot{\vec{r}}^2$$

(interpretação: 2 partículas fictícias), e

$$\mathcal{L} = T - U = \underbrace{\frac{1}{2} M \dot{\vec{R}}^2}_{\mathcal{L}_{CM}} + \underbrace{\left( \frac{1}{2} \mu \dot{\vec{r}}^2 - U(r) \right)}_{\mathcal{L}_{rel}}$$

$\mathcal{L}$  é separável  $\Rightarrow$  2 problemas distintos e independentes.

### 8.43 As equações de movimento

- eq. para  $\vec{R}$ : (3 equações)

$$M\ddot{\vec{R}} = 0 \Rightarrow \dot{\vec{R}} = \text{constante}$$

- consequência direta da conservação do momento total
- $\vec{R}$  é coordenada ignorável
- $\mathcal{L}_{\text{CM}}$  tem a forma de uma Lagrangeana de partícula livre; pela 1ª lei de Newton,  $\dot{\vec{R}}$  é constante

- eq. para  $\vec{r}$ :  $\mathcal{L}_{\text{rel}}$  tem a forma de  $\mathcal{L}$  para partícula de massa  $\mu$  sujeita à energia potencial  $U(r)$ :

$$\Rightarrow \mu\ddot{\vec{r}} = -\nabla U(r)$$

#### O referencial do CM

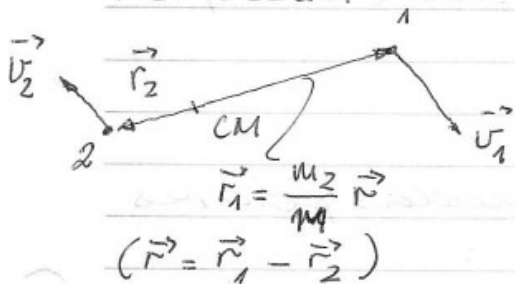
O problema se torna ainda + simples se escolhermos bem o referencial. Como  $\dot{\vec{R}}$  é constante, podemos escolher um referencial no qual o CM está em repouso e no qual o momento total seja nulo: é o referencial do CM, no qual  $\dot{\vec{R}} = 0$  e a parcela da Lagrangeana que se refere ao movimento do CM é idênticamente nula ( $\mathcal{L}_{\text{CM}} = 0$ ). Neste referencial

$$\mathcal{L} = \mathcal{L}_{\text{rel}} = \frac{1}{2}\mu\dot{\vec{r}}^2 - U(r)$$

e o problema se reduz a um de uma partícula. Esta simplificação ilustra o significado da terminologia "coor-

denada "ignorable": o movimento associado a ela pode ser ignorado.

Como é o movimento visto deste referencial?



As 2 partículas se movem, e seus momentos são iguais e opostos. Se  $m_2 \gg m_1$  (o que é frequentemente verdade), o CM está ~~mais~~ perto de  $m_2$  e

esta partícula tem velocidade pequena; além disso,  $\vec{r}_1 = \frac{m_2}{M} \vec{r} \approx \vec{r}$ .

Conservação do momento angular

Já sabemos que o momento angular total do sistema (isolado) de 2 partículas é conservado. Esta conservação toma forma especialmente simples no referencial do CM.

Em qualquer referencial,

$$\vec{L} = \vec{r}_1 \times \vec{p}_1 + \vec{r}_2 \times \vec{p}_2 = m_1 \vec{r}_1 \times \dot{\vec{r}}_1 + m_2 \vec{r}_2 \times \dot{\vec{r}}_2$$

No referencial CM, ( $\vec{R} = 0$ ),

$$\vec{r}_1 = \frac{m_2}{M} \vec{r} \quad \text{e} \quad \vec{r}_2 = -\frac{m_1}{M} \vec{r}$$

$$\text{Neste referencial, } \vec{L} = \frac{m_1 m_2}{M^2} (m_2 \vec{r} \times \dot{\vec{r}} + m_1 \vec{r} \times \dot{\vec{r}})$$

$\Rightarrow \vec{L} = \vec{r} \times \mu \dot{\vec{r}}$ , o mesmo que o de 1 partícula de massa  $\mu$  e posição  $\vec{r}$ . Como  $\vec{L}$  é conservado,  $\vec{r} \times \dot{\vec{r}}$  é constante.

que podemos escolher como o plano  $x, y$ ,  
 te - como sua direção é constante, o  
 plano formado por  $\vec{r}$  e  $\dot{\vec{r}}$  é fixo  $\Rightarrow$  no  
 referencial CM, o movimento se dá num  
 plano fixo, e o problema de 2 corpos sob  
 força central conservativa é um proble-  
 ma bidimensional.

As 2 eq. de movimento

Escolhamos coordenadas polares  
 bidimensionais  $r$  e  $\phi$ :

$$\mathcal{L} = \frac{1}{2} \mu (\dot{r}^2 + r^2 \dot{\phi}^2) - U(r)$$

$$\frac{\partial \mathcal{L}}{\partial \phi} = 0 \Rightarrow \phi \text{ é ignorável, e}$$

$$\frac{\partial \mathcal{L}}{\partial \dot{\phi}} = \mu r^2 \dot{\phi} = l \text{ (constante),}$$

(estritamente:  $l_z, \dots$ )

que é apenas a expressão da conserva-  
 ção do momento angular.

A eq. radial:

$$\frac{\partial \mathcal{L}}{\partial r} = -\frac{dU}{dr} + \mu r \dot{\phi}^2 = \frac{d}{dt} \frac{\partial \mathcal{L}}{\partial \dot{r}} = \mu \ddot{r}$$

(se movermos o termo centrípeta para  
 a direita resulta a componente ra-  
 dial da eq. Newton,  $\vec{F} = \mu \vec{a}$ )

8.4. O problema unidimensional  
 equivalente.

Da eq. em  $\phi$  resulta

$$\dot{\phi} = \frac{l}{\mu r^2}, \text{ que podemos}$$

usar para eliminar

$\phi$  da eq. radial:

$$\mu \ddot{r} = -\frac{dU}{dr} + \underbrace{\mu r \dot{\phi}^2}_{F_{cf}} = -\frac{dU}{dr} + \frac{l^2}{\mu r^3}$$

eq. para 1 partícula em 1D, sujeita à ação da força  $-\frac{dU}{dr}$  e de uma força centrífuga fictícia  $F_{cf} = \frac{\ell^2}{\mu r^3}$ , que pode ser expressa como a derivada de uma energia potencial centrífuga:

$$F_{cf} = -\frac{d}{dr} \left( \frac{\ell^2}{2\mu r^2} \right) = -\frac{d}{dr} U_{cf}$$

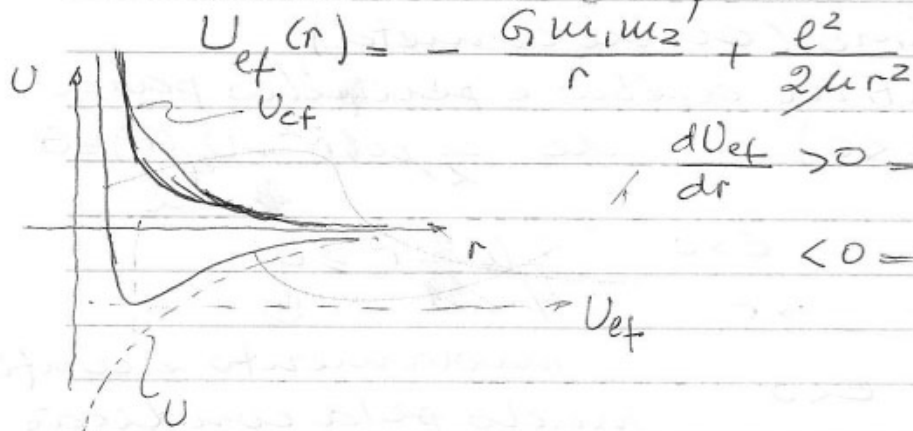
$U_{cf} = \frac{\ell^2}{2\mu r^2}$ , que nos permite reescrever a eq. radial na forma

$$\mu \ddot{r} = -\frac{d}{dr} U_{ef}(r), \quad U_{ef}(r) = U(r) + U_{cf}(r),$$

$$U_{ef}(r) = U(r) + \frac{\ell^2}{2\mu r^2}, \quad \text{que nos}$$

permite usar todo o formalismo desenvolvido anteriormente para sistemas conservativos multidimensionais.

Exemplo 1: energia potencial efetiva de um cometa. (o problema de Kepler)



$$\frac{dU_{ef}}{dr} > 0 \Rightarrow \ddot{r} < 0$$

"atracção"

$$< 0 \Rightarrow \ddot{r} > 0$$

"repulsão"

## Conservação da energia

Da eq. radial,

$$\mu \ddot{r} = - \frac{d}{dr} U_{ef}(r)$$

$$\mu \ddot{r} \dot{r} = - \frac{d}{dr} U_{ef}(r) \cdot \frac{dr}{dt}$$

$$\frac{d}{dt} \left( \frac{\mu \dot{r}^2}{2} + U_{ef}(r) \right) = 0$$

$$\Rightarrow \frac{1}{2} \mu \dot{r}^2 + U_{ef}(r) = \text{constante,}$$

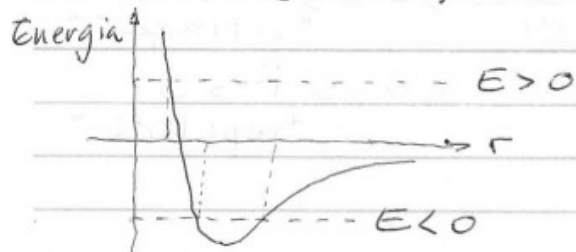
que é, de fato, a energia total:

$$\frac{1}{2} \mu \dot{r}^2 + U_{ef} = \frac{1}{2} \mu \dot{r}^2 + \frac{1}{2} \mu r^2 \dot{\phi}^2 + U(r) = E$$

Portanto, a energia total pode ser entendida como a soma da energia cinética associada ao movimento radial (1D) com a energia potencial efetiva (também 1D), que inclui a energia potencial "de verdade"  $U$  e a energia cinética  $\frac{1}{2} \mu r^2 \dot{\phi}^2$  associada ao movimento angular. — 20/05/09 —

Exemplo 2: análise <sup>energética</sup> do movimento planetário (ou de cometa)

• Encontrar afélio e periélio para  $E > 0$  ( $E < 0$ ): de  $\frac{1}{2} \mu \dot{r}^2 + U_{ef}(r) = E$



$$\frac{1}{2} \mu \dot{r}^2 \geq 0$$

movimento é confinado pela condição

$$E - U_{ef}(r) \geq 0 \Rightarrow E \geq U_{ef}(r)$$

- se  $E > 0 \Rightarrow U_{ef}(r_{\min}) = E$

Em  $r = r_{\min}$ ,  $\dot{r} = 0$

Órbita é ilimitada (analise o movimento, partindo de  $r \gg r_{\min}$  com  $\dot{r} < 0$ )

- se  $E < 0 \Rightarrow U_{ef}(r_{\min}) = U_{ef}(r_{\max}) = E$ :

$r_{\min}$  e  $r_{\max}$  são pontos de retorno, e o planeta (cometa) está capturado: órbita é limitada.

se  $E = \min U_{ef}(r)$ : órbita circular  
( $r_{\min} = r_{\max}$ )

Consideramos, no exemplo, força que cai com o quadrado da distância, mas as conclusões são idênticas (qualitativamente) em muitos outros casos (sempre que  $U_{ef}$  tiver a forma mostrada), como em moléculas diatômicas, por exemplo.

Ao considerar o movimento radial no problema de 2 corpos, não podemos nos esquecer inteiramente do movimento angular. Vimos que  $\dot{\phi} = \frac{L}{\mu r^2}$  e  $\phi$  muda continuamente - e  $\dot{\phi}$  tem sempre o mesmo sinal, logo  $\phi$  sempre aumenta ou sempre diminui. Por exemplo, quando um cometa com  $E > 0$  se aproxima do Sol,  $\phi$  muda a uma taxa que aumenta quando  $r$  diminui; quando ele se afasta, a taxa de varia-

caso de  $\phi$  diminuir ( $r$  aumenta). Para uma força que varia com o inverso do quadrado da distância, a órbita é uma hipérbole. Em outros casos, a curva é diferente, mas as órbitas ilimitadas são qualitativamente semelhantes.

Para as órbitas limitadas ( $E < 0$ ), vimos que  $r$  oscila entre 2 valores extremos  $r_{\min}$  e  $r_{\max}$ , enquanto  $\phi$  aumenta (se a órbita é percorrida no sentido trigonométrico, diminui, caso contrário). No caso da força  $\propto \frac{1}{r^2}$ , veremos que os períodos dos movimentos radial e angular coincidem, e o movimento se repete a cada revolução - as órbitas são fechadas (veremos que são elipses). Para a maioria das outras forças, estes períodos são diferentes, e a órbita não é fechada.

### 8.5 Equação da órbita

A eq. radial ( $\mu \ddot{r} = -\frac{d}{dr} U_{ef}(r)$ ) determina  $r = r(t)$  - mas para muitas finalidades gostaríamos de ter  $r = r(\phi)$ , que nos dá diretamente a forma da órbita.

Para isso, podemos reescrever a eq. radial como uma eq. diferencial para  $r$  em termos de  $\phi$  - usando 2 truques:

- fazer a substituição  $u = \frac{1}{r}$  (ou  $r = \frac{1}{u}$ );
- usar a regra da cadeia para

rescrever o operador diferencial  $\frac{d}{dt}$  em termos de  $\frac{d}{d\phi}$ :  $\frac{d}{dt} = \frac{d\phi}{dt} \frac{d}{d\phi} = \dot{\phi} \frac{d}{d\phi} = \frac{l}{\mu r^2} \frac{d}{d\phi}$

Então:

$$\dot{r} = \frac{d}{dt}(r) = \frac{l\mu^2}{\mu} \frac{d}{d\phi} \left( \frac{1}{u} \right) = -\frac{l}{\mu} \frac{du}{d\phi};$$

$$\ddot{r} = \frac{d}{dt}(\dot{r}) = \frac{l\mu^2}{\mu} \frac{d}{d\phi} \left( -\frac{l}{\mu} \frac{du}{d\phi} \right) = -\frac{l^2\mu^2}{\mu^2} \frac{d^2u}{d\phi^2}$$

e a eq. radial fica

$$-\frac{l^2\mu^2}{\mu^2} \frac{d^2u}{d\phi^2} = F + \frac{l^2\mu^3}{\mu}, \text{ ou}$$

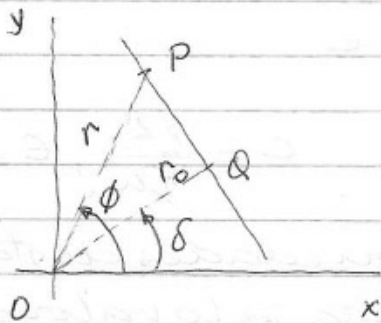
$$u''(\phi) = -u(\phi) - \frac{\mu}{l^2\mu^2(\phi)} F$$

Exemplo: eq. radial para a partícula livre (uma das maneiras + difíceis de mostrar que a trajetória é uma linha reta...)

$$F=0 \Rightarrow u''(\phi) = -u(\phi) \quad (\text{MKS})$$

$u(\phi) = A \cos(\phi - \delta)$  é a solução geral

$$r(\phi) = \frac{1}{u(\phi)} = \frac{1}{A} \frac{1}{\cos(\phi - \delta)} = \frac{r_0}{\cos(\phi - \delta)}$$



que é a eq. polar de uma linha reta que passa por  $Q(r_0, \delta)$  e é ortogonal a  $OQ$ :

$$\frac{r_0}{r} = \cos(\phi - \delta) \Rightarrow r = \frac{r_0}{\cos(\phi - \delta)}$$

## 8.6. As órbitas de Kepler

Problema de Kepler: encontrar as órbitas possíveis para objeto sujeito a força  $F \propto \frac{1}{r^2}$ ; para poder usar com facilidade o resultado nos casos gravitacional e coulombiano, escrevo

$$F(r) = -\frac{\gamma}{r^2} = -\gamma u^2 \quad (\gamma = GM\mu, \text{ e.g.})$$

$$\Rightarrow u''(\phi) = -u(\phi) + \frac{\gamma\mu}{e^2}$$

(o último termo é constante porque  $F \propto \frac{1}{r^2}$ ) - e a eq. é fácil de resolver: defina  $w(\phi) = u(\phi) - \frac{\gamma\mu}{e^2}$

$w''(\phi) = -w(\phi) \Rightarrow w(\phi) = A \cos(\phi - \delta)$ , onde  $A > 0$  e  $\delta$  pode ser escolhida nula por uma escolha apropriada da direção  $\phi = 0$  (ou então, defina  $\check{\phi} = \phi - \delta$ ).

A solução geral para  $u$  é

$$u(\phi) = \frac{\gamma\mu}{e^2} + A \cos \phi = \frac{\gamma\mu}{e^2} (1 + \epsilon \cos \phi).$$

$$\epsilon = \frac{Ae^2}{\gamma\mu}. \text{ Como } u = \frac{1}{r}, \frac{\gamma\mu}{e^2} \text{ tem dimen-}$$

ção de [comprimento] $^{-1}$   $\rightarrow$  introduzimos comprimento  $c = \frac{e^2}{\gamma\mu}$ , e

$$r(\phi) = \frac{c}{1 + \epsilon \cos \phi}, \quad c = \frac{e^2}{\gamma\mu}, \quad \epsilon = \frac{Ae^2}{\gamma\mu} = Ae$$

Vamos explorar as propriedades desta solução, que terá contida pelo valor da constante positiva  $\epsilon$  ainda indeterminada.

e que é muito diferente se  $\epsilon < 1$  ou se  $\epsilon \geq 1$ .

### Órbitas limitadas

Se  $\epsilon < 1$ , o denominador nunca se anula e a órbita é limitada. Se  $\epsilon \geq 1$ , ele se anula para algum valor de  $\phi$  ( $\phi_{as}$ ), e  $r(\phi) \rightarrow \infty$  como  $\phi \rightarrow \phi_{as}$ .

O valor  $\epsilon = 1$  é a fronteira entre órbitas limitadas e ilimitadas - veremos que corresponde à fronteira entre  $\epsilon < 0$  e  $\epsilon \geq 0$ .

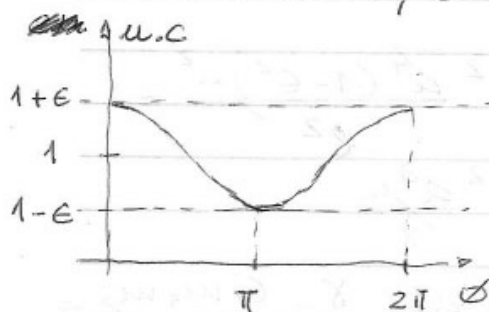
Se  $\epsilon < 1$ , o denominador oscila

entre os valores  $1 \pm \epsilon$ , e

$r(\phi)$  oscila entre

$$r_{\min} = \frac{c}{1 + \epsilon} \quad e$$

$$r_{\max} = \frac{c}{1 - \epsilon} \quad ,$$

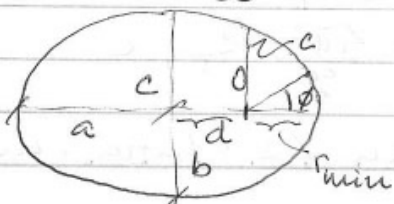


com  $r_{\min}$  (perihélio) em  $\phi = 0$  e  $r_{\max}$  (afélio) em  $\phi = \pi$ . Como  $r(\phi)$  é periódico, com período  $2\pi$ ,  $r(2\pi) = r(0)$  e a órbita se fecha após apenas 1 revolução. — 22/05/09 —

Não é difícil resolver a eq. da órbita em coordenadas cartesianas para obter

$$\frac{(x+d)^2}{a^2} + \frac{y^2}{b^2} = 1, \quad a = \frac{c}{1 - \epsilon^2}$$

$$b = \frac{c}{\sqrt{1 - \epsilon^2}}, \quad d = a\epsilon$$



(eq. da elipse)

A razão  $\frac{b}{a} = \sqrt{1 - e^2} \Rightarrow e = \frac{a-b}{a}$  é a excentricidade da elipse ( $e=0 \Rightarrow b=a$  e a elipse torna-se um círculo;  $e \rightarrow 1 \Rightarrow \frac{b}{a} \rightarrow 0$ , e a elipse é fina e alongada);  
 $d = ae$  é a distância focal — e acabamos de provar a 1ª lei de Kepler!

O período da órbita: a 3ª lei de Kepler

Da 2ª lei de Kepler,

$$\frac{dA}{dt} = \frac{e}{2\mu}$$

Como a área da elipse é  $\pi ab$ , o período é

$$T = \frac{A}{dA/dt} = \frac{2\pi ab\mu}{e}$$

$$T^2 = 4\pi^2 \frac{a^2 b^2 \mu^2}{e^2} = 4\pi^2 \frac{a^4 (1 - e^2) \mu^2}{e^2} =$$

$$= 4\pi^2 \frac{a^3 c \mu^2}{e^2} = 4\pi^2 \frac{a^3 \mu}{\gamma}$$

Para a força gravitacional,  $\gamma = G m_1 m_2 =$   
 $= G \mu M \Rightarrow T^2 = \frac{4\pi^2 a^3}{GM} \approx \frac{4\pi^2 a^3}{GM_{\text{sol}}}$

e a lei se aplica também a satélites de um planeta.

Exemplo: período de satélite da Terra em órbita baixa circular

$$\rightarrow r = R_{\text{Terra}}, \text{ e } T^2 = \frac{4\pi^2}{GM_T} R_T^3 ;$$

$$\text{mas } \frac{GM_T}{R_T^2} = g \Rightarrow T^2 = \frac{4\pi^2}{g} R_T, \text{ e}$$

$$T = 2\pi \sqrt{\frac{R_T}{g}} \approx 85 \text{ min } (\approx 1 \text{ hora e meia})$$

## Relações entre energia e excentricidade

No periélio,

$$U_{\text{ef}}(r_{\text{min}}) = E = -\frac{\gamma}{r_{\text{min}}} + \frac{l^2}{2\mu r_{\text{min}}^2} =$$

$$= \frac{1}{2r_{\text{min}}} \left( \frac{l^2}{\mu r_{\text{min}}} - 2\gamma \right)$$

Mas  $r_{\text{min}} = \frac{c}{1+e}$  e  $c = \frac{l^2}{\gamma\mu}$

$$\Rightarrow r_{\text{min}} = \frac{l^2}{\gamma\mu(1+e)}, \quad e$$

$$E = \frac{\gamma\mu(1+e)}{2l^2} \left( \frac{l^2}{\mu c} (1+e) - 2\gamma \right) =$$

$$= \frac{\gamma^2\mu}{2l^2} (e^2 - 1), \quad \text{válido tanto para órbitas limi-}$$

tadas quanto para ilimitadas. Logo,

$$E < 0 \Rightarrow e^2 < 1 \Rightarrow e < 1, \quad e$$

$$E > 0 \Rightarrow e^2 > 1 \Rightarrow e > 1 \quad (\text{órbita ilimitada})$$

Esta equação estabelece uma relação útil entre propriedades mecânicas ( $E$  e  $l$ ) e geométricas ( $e$ ) e tem interessantes implicações. Por exemplo, para um dado valor (fixo) de  $l$ , a órbita de menor energia possível é a órbita circular com  $E = 0$  (esta conexão tem uma correspondente em mecânica quântica  $m$ )

### 8.7 Órbitas de Kepler ilimitadas

Vamos analisar a solução geral para a órbita  $r(\phi) = \frac{c}{1+e\cos\phi}$  quando  $e \geq 1$

$$\Rightarrow E \geq 0$$

A fronteira entre órbitas limitadas e ilimitadas ocorre para  $\epsilon = 1$  ( $E = 0$ ); neste caso, o denominador da equação da órbita se anula quando  $\phi = \pm \pi$ , isto é  $r(\phi) \rightarrow \infty$  quando  $\phi \rightarrow \pm \pi$ : a órbita é ilimitada e  $r \rightarrow \infty$ . Neste caso, a órbita em coordenadas cartesianas é  $y^2 = c^2 - 2cx$ , equação de uma parábola.

Se  $\epsilon > 1$  ( $E > 0$ ) o denominador se anula para  $\phi_{\max}$  dado por  $\epsilon \cos \phi_{\max} = -1$ , e a órbita é confinada angularmente a  $(-\phi_{\max}, \phi_{\max})$ . Sua forma cartesiana é  $\frac{(x-\delta)^2}{\alpha^2} - \frac{y^2}{\beta^2} = 1$ , equação de uma hipérbole.

Sumário das órbitas de Kepler

$$r(\phi) = \frac{c}{1 + \epsilon \cos \phi}$$

$$E = \frac{\gamma^2 \mu}{2l^2} (\epsilon^2 - 1)$$

excentricidade	energia	órbita
$\epsilon = 0$	$E < 0$	círculo
$0 < \epsilon < 1$	$E < 0$	elipse
$\epsilon = 1$	$E = 0$	parábola
$\epsilon > 1$	$E > 0$	hipérbole

-  $c$ : fator de escala que determina o tamanho da órbita (distância quando

$\phi = \frac{\pi}{2}$ ),  $c = \frac{l^2}{\gamma \mu}$

## 8.8. Mudanças de órbita (pilotando uma espaçonave)

Se queremos ir a Venus <sup>mesmo</sup> podemos ~~querer~~ transferir de uma órbita circular em torno do Sol (próxima à Terra) para uma elíptica que a leve próxima ao alvo. Algo similar pode levar um satélite da Terra para altitudes + elevadas. A análise das órbitas em torno da Terra é idêntica à das órbitas em torno do Sol - os pontos de menor e maior afastamento são agora chamados de perigeu e apogeu.

Vamos focalizar órbitas limitadas, elípticas:

$$r(\phi) = \frac{c}{1 + \epsilon \cos(\phi - \delta)} \quad (\text{vamos ter que manipular } \epsilon, \text{ por isto não podemos nos livrar de } \delta - \text{ não para ambas, pelo menos})$$

Suponha que a espaçonave está numa órbita como esta, com energia  $E_1$  e momento angular  $l_1$ , e parâmetros orbitais  $c_1$ ,  $\epsilon_1$  e  $\delta_1$ . Uma forma comum de mudar de órbita é ligar os motores vigorosamente por um pequeno intervalo de tempo - é uma boa aproximação considerar este procedimento como um impulso que muda a velocidade instantaneamente de um valor conhecido sem mudar o ângulo  $\phi_0$ . Conhecido o novo valor da velocidade, determinamos

$E_2$  e  $l_2$  - e deste último o valor de  $c_2$ , e  $\epsilon_2$  da relação entre  $E$  e  $\epsilon$ . Finalmente, como a órbita deve ser contínua,  $r_1(\phi_0) = r_2(\phi_0)$  leva a

$$\frac{c_1}{1 + \epsilon_1 \cos(\phi_0 - \delta_1)} = \frac{c_2}{1 + \epsilon_2 \cos(\phi_0 - \delta_2)}, \text{ que}$$

determina  $\delta_2$ .

O procedimento é apenas braçal. Vamos exemplificá-lo num caso especial importante.

Impulso tangencial no perigeu.

Escolhemos o eixo  $x$  de modo a que o perigeu corresponda a  $\phi = 0 \Rightarrow \phi_0 = \delta_1 = 0$ . Como o impulso é tangencial,  $\vec{v}$  mantém a direção perpendicular ao raio (da Terra ao satélite). Portanto, este é também o perigeu (ou apogeu) da nova órbita  $\Rightarrow \delta_2 = 0$ , e a continuidade da órbita impõe

$$\frac{c_1}{1 + \epsilon_1} = \frac{c_2}{1 + \epsilon_2}$$

Defino  $\lambda$  por  $v_2 = \lambda v_1$  (o fator de empuxo): se  $\lambda > 1$ , o empuxo foi para a frente e a velocidade do satélite aumentou.

No perigeu,  $l = \mu r v \Rightarrow l_2 = \lambda l_1$

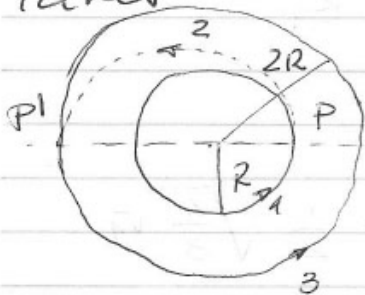
Como  $c \propto l^2$ ,  $c_2 = \lambda^2 c_1$

$$\Downarrow$$
$$\frac{1}{1 + \epsilon_1} = \frac{\lambda^2}{1 + \epsilon_2} \Rightarrow \epsilon_2 = \lambda^2 \epsilon_1 + (\lambda^2 - 1)$$

e esta equação contém quase todas as informações interessantes sobre a nova órbita! Por exemplo:

- se  $\lambda > 1 \Rightarrow E_2 > E_1$ : a nova órbita tem o mesmo perigeu que a antiga mas maior excentricidade  $\Rightarrow$  maior apogeu; se fizermos  $\lambda$  grande o suficiente podemos ter  $E_2 > 1 \Rightarrow$  órbita hiperbólica e o satélite escapa da atração terrestre
- se  $\lambda < 1 \Rightarrow E_2 < E_1$ , e o apogeu diminui; se diminuirmos  $\lambda$ , podemos vir a ter  $E_2 = 0 \Rightarrow$  nova órbita é circular; para  $\lambda$  ainda menor, teremos  $E_2 < 0 \Rightarrow$  perigeu e apogeu inverteram seus papéis.

Exemplo: transferência entre órbitas circulares



Impulsos em P e P' (perigeu e apogeu da órbita 2 de transferência). Quais devem ser  $\lambda$  e  $\lambda'$ ?

$$C_1 = R_1 \text{ e } E_1 = 0 \quad (R_1 = R)$$

$$\Rightarrow C_2 = \lambda^2 R_1 \text{ e } E_2 = \lambda^2 - 1$$

No apogeu da órbita 2,  $r = R_3 = 2R$ ; da equação da órbita,

$$R_3 = \frac{C_2}{1 + E_2 \cos \pi} = \frac{C_2}{1 - E_2} = \frac{\lambda^2 R}{1 - (\lambda^2 - 1)}$$

$$\Rightarrow 2R = \frac{\lambda^2 R}{2 - \lambda^2} \Rightarrow 3\lambda^2 = 4 \Rightarrow \lambda = \sqrt{\frac{4}{3}} \approx 1,15$$

O segundo impulso em  $P^1$  (apogeu da órbita 2  $\Rightarrow \phi = \pi$ )

$$\Rightarrow \frac{C_2}{1 - \epsilon_2} = \frac{C_3}{1 - \epsilon_3}$$

No apogeu,  $l = \mu r v \Rightarrow l_3 = \lambda' l_2$

Como  $c \propto l^2$ ,  $C_3 = \lambda'^2 C_2$

$$\frac{1}{1 - \epsilon_2} = \frac{\lambda'^2}{1 - \epsilon_3} \Rightarrow 1 - \epsilon_3 = \lambda'^2 (1 - \epsilon_2) \Rightarrow \epsilon_3 = 1 - \lambda'^2 + \lambda'^2 \epsilon_2$$

Mas  $\epsilon_3 = 0$  e  $\epsilon_2 = \left(\frac{r_1}{3}\right)^2 - 1 = \frac{2}{3} - 1 = -\frac{1}{3}$

$$\Rightarrow \lambda'^2 = \frac{1}{1 - \frac{2}{3}} = \frac{3}{1} \Rightarrow \lambda' = \sqrt{\frac{3}{2}} \approx 1,22$$

Cuidado: o incremento de velocidade naõ é  $\lambda \cdot \lambda'$ , porque acontecem em pontos diferentes da órbita. De fato, a velocidade na órbita 3 é menor que na órbita 1.

$$v_2(\text{apo}) \cdot r_3 = v_2(\text{per}) \cdot r_1$$

$$v_3 = \lambda' v_2(\text{apo})$$

$$v_2(\text{per}) = \lambda v_1$$

$$v_3 = \lambda' \cdot \frac{r_1}{r_3} \cdot \lambda v_1 = \sqrt{\frac{3}{2}} \cdot \frac{1}{2} \cdot \sqrt{\frac{4}{3}} v_1$$

$$v_3 = \frac{v_1}{\sqrt{2}}$$

É fácil mostrar que, para órbitas circulares,  $v \propto \sqrt{\frac{1}{R}}$  - e o resultado acima é um caso particular.

- 25/05/09.